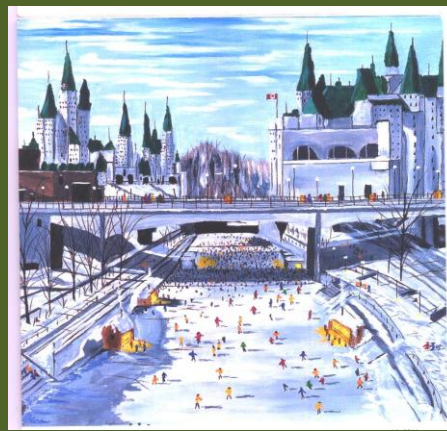


***CENTRE DE RECHERCHE  
EN  
CLIMATOLOGIE  
<<CORIOLIS-VINCI>>***

---



***RAPPORT 2008  
DÉCEMBRE 2008 // JANVIER 2009***

---

**CENTRE DE RECHERCHE EN CLIMATOLOGIE****<<CORIOLOIS-VINCI>>****RAPPORT-FIN 2008-DÉBUT 2009****INTRODUCTION**

En tant que chercheur autonome du Centre de recherche en climatologie <<CORIOLIS-VINCI>>, nous avons le plaisir de vous présenter les résultats et les confirmations de trouvailles de l'année 2008 qui vient de se terminer. Les quelques lignes qui suivent seront brèves car les résultats obtenus consolident nos hypothèses déjà vérifiées dans les rapports précédents (2000 à 2007) et augmentent le niveau de confiance des conclusions et recommandations maintenant publiées sur le Web <http://www.rlapierre.qc.ca> ! Les courbes de tendance ajoutées aux histogrammes des données colligées, soit les courbes exprimées par la moyenne mobile avec période (2) simplifient grandement la compréhension du phénomène des marées calorifiques et les décrivent parfaitement bien par la justesse de l'allure des courbes.

Voici :

<<Le Rapport 2008 présenté en fin décembre 2008 / janvier 2009>>

<<Les constats des observations et de la recherche 2008>>

Histogramme des anomalies calorifiques exprimées en Celcius (Centigrade) subissant l'influence des solstices et des équinoxes des années 2002 à 2008 inclusivement.

Voici la synthèse des données météorologiques (calorifique) de l'année 2008 qui porte le nombre d'heures investies dans cette recherche à plus de 12 000 heures!

Ce graphique démontre l'effet de l'orientation de l'axe de la terre au cours de l'année orbitale, soit pendant les périodes d'équinoxes et de solstices.

Veillez référer à l'histogramme suivant en cliquant sur ce lien hypertexte :



Graphe.

La moyenne annuelle des anomalies des températures maximales enregistrées à la station <<Coriolis-Vinci>> se chiffre à : 3,58 Centigrade. Et ce avec un degré de confiance de + 95%, 6 fois sur 7, selon les mois de la période de 6 années sur 7 années dans la période étudiée. Ce degré de confiance diminue à 83%, 7 fois sur 7 selon les mois de la période considérée de 7 années sur 7 années.

Veillez référer à l'histogramme suivant en cliquant sur ce lien hypertexte :

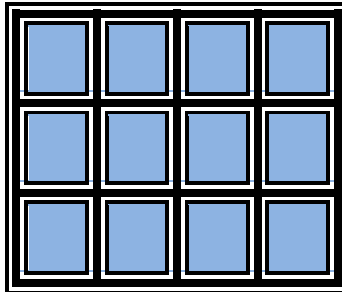


Graphe.

D'autres chercheurs auparavant et nous-mêmes avons vérifié et démontré dans les rapports précédents que les anomalies étaient affectées par des contraintes naturelles telles que :

1. L'influence de l'orbite du satellite naturel de la terre, soit la lune en modifiant la forme de la ceinture ionique <<Van-Allen>>;
2. L'influence de la forme de la terre avec ses superficies planes et accidentées;
3. L'influence des champs magnétiques;
4. L'influence de l'étoile de notre galaxie (LE SOLEIL), avec ses variations énergétiques d'une période de (+/-) 11 années;
5. L'influence de la rotation de la terre;
6. L'influence de l'angle de l'axe de rotation de cette dernière;
7. L'influence orbitale de la planète terre autour du soleil;
8. L'influence orbitale des autres planètes de la voie lactée;
9. L'influence de la localisation des stations de mesures selon la latitude, la longitude et l'altitude de ces dernières;
10. L'influence de la production énergétique locale, régionale et internationale;

11. L'influence du type d'énergie utilisée et les émanations affectant l'atmosphère;
12. L'influence du bilan énergétique global;
13. L'influence des océans;
14. L'influence des pôles;
15. L'influence démographique;
16. L'influence hydrographique;
17. Enfin, l'influence d'un bras de levier global local ou régional qui affecte les anomalies calorifiques de notre météo et de notre climat! S.V.P., cliquer sur le lien hypertexte pour la lecture du tableau qui montre les bras de levier annuels des années étudiées par le centre de recherche en climatologie <<Coriolis-Vinci>>;



Voir le Tableau suivant.

**Note (1):**

Le bras de levier est défini comme étant la valeur du rapport de l'anomalie calorifique locale ou régionale divisée par l'anomalie globale publiée dans le rapport de l'IPCC (GIEC) 2001, soit 0,6 Centigrade.

Années Étudiées Lien 	Anomalies locales en Celcius (Centigrade)	Bras de levier = anomalie locale // anomalie globale
2002	1,98	3,31
2003	3,09	5,15
2004	3,63	6,05
2005	3,79	6,31
2006	4,24	7,07
2007	3,52	5,87
2008	3,25	5,42
Moyenne (7 ans)	3,35	5,59
Moyenne (6 ans)	3,58	5,98

Pour connaître le degré de confiance, veuillez référer à l'histogramme suivant en cliquant sur ce lien hypertexte :



Graphe.

**Note (2):**

À noter que les bras de levier sont également variables suivant une fonction temporelle! En effet le bras de levier locaux ou régionaux varient selon les mois de l'année en fonction de l'axe de la terre qui influencent ces derniers tout comme l'orbite de la lune, l'orbite de la terre modifiant l'orientation son axe de rotation lors de son parcours orbital autour du soleil. Et il en est de même pour les autres planètes gravitant autour du soleil dans notre système galactique.

**Note (3):**

Nos résultats sont parfaitement compatibles avec les résultats présentés par le plus grand organisme climatologique et océanographique du monde soit : le <<NOAA>> du gouvernement américain.

Voici les moyennes en Centigrade et le bras de levier régional (valeur absolue) basées sur huit années d'étude menée par le Groupe <<Coriolis-Vinci>> :

Années étudiées	Anomalies locales en Celcius (Centigrade)	Bras De levier Anomalies//0,6 C
Moyenne locale/régionale (6 années)	3,58 Celcius	5,98
Moyenne arctique NOAA/SEDNA	6,0 Celcius	Approximativement 10

Nos recherches évaluent le bras de levier local à 5,98. La valeur de notre bras de levier se compare bien, logiquement, avec les résultats notés par les scientifiques spécialisés dans le domaine des études arctiques/antarctiques et/ou nordiques qui montrent des valeurs calorifiques (anomalies) de l'ordre de (6) Centigrade selon l'équipe du SEDNA et les graphes cartographiés de la NOAA. Ces résultats correspondent à un bras de levier de l'ordre de grandeur (10) en zone ou région polaire!

1. Tableau des Histogrammes des anomalies calorifiques locales/régionales exprimées en degré Centigrade (S.V.P. cliquez sur le mois considéré pour y voir l'allure des histogrammes et des courbes de tendance):

Année 2008 Mois étudiés Liens hypertextes Des Histogrammes/Courbes	Anomalies Locales ou Régionales Exprimées en Centigrade	Bras de levier = Anomalies locales // Anomalie globale IPCC
Janvier	3,83	6,38
Février	2,80	4,67
Mars	0,73	1,22
Avril	4,87	8,12
Mai	3,23	5,38
Juin	3,60	6,00
Juillet	1,83	3,05
Août	3,83	6,38
Septembre	4,93	8,22
Octobre	4,27	7,12
Novembre	2,90	4,83
Décembre	2,70	4,50
<b>Moyenne (12 mois) Non corrigée</b>	<b>3,25</b>	<b>5,49</b>

2. Histogramme des anomalies calorifiques mensuelles locales/régionales cumulées de façon journalière (2008) en Centigrade;

Ce graphique présente les douze mois offrant des anomalies calorifiques positives exprimées en degré Centigrade (Celcius).

Veillez référer à l'histogramme suivant en cliquant sur ce lien hypertexte :



Grappe.

3. Les courbes des anomalies calorifiques exprimées en Centigrade pour les années 2002 à 2008 inclusivement;

Les courbes du graphique suivant démontrent une concentration plus grande des valeurs notées des températures locales/régionales autour de la valeur linéaire 3,58 Celcius. Cette concentration peut s'exprimer à l'aide d'une droite passant par le centre de gravité des températures enregistrées.

Veillez référer à l'histogramme suivant en cliquant sur ce lien hypertexte :



Grappe.

4. Courbe du stockage calorifique 2008 à compter du solstice d'été jusqu'au solstice d'hiver;

Le graphique suivant montre de façon claire l'influence du stockage énergétique de l'ensemble des sources énergétiques produites ou captées par notre planète. À noter qu'à compter du solstice estival l'évidence se perçoit pour toute la période estivale et automnale. Le phénomène étant moins perceptible à compter du solstice hivernal jusqu'au solstice estival suivant.

Veillez référer à l'histogramme suivant en cliquant sur ce lien hypertexte :

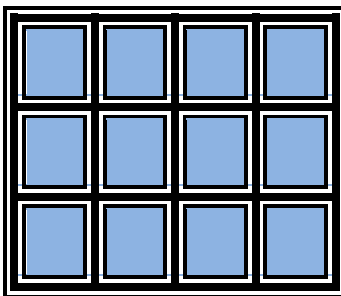


Grappe.



5. Rappel et confirmation de l'indice topographique ré : (topographie / latitude / longitude)

Nous vous référons au tableau du lien hypertexte de la section intitulée : PROJET <<CORIOLIS-VINCI>> du site web <http://rlapierre.qc.ca>. À remarquer que les valeurs exprimées en delta calorifique << Centigrade >> corroborent aux données régionales avec topographie accentuée, zone à topographie plane en milieu océanique et finalement les effets régionaux locaux de Trois-Rivières. Données colligées par Régis Lapiere, ing., Sc.M.G.P., M.Sc.A lors de la réalisation de cette étude de plus de 12,000 heures.



Voir le Tableau suivant.

6. Courbe de dispersion des anomalies maximales calorifiques 2008;

Le graphique suivant montre de façon claire la concentration des anomalies calorifiques de l'ensemble des sources énergétiques produites ou captées par notre planète. À noter qu'une droite au niveau de 3,25 représente bien la situation locale ou régionale.

Veuillez référer à l'histogramme suivant en cliquant sur ce lien hypertexte :



Graphe.

7. Histogramme de dispersion des anomalies maximales calorifiques journalières cumulées de façon mensuelle 2008;

Le graphique suivant montre de façon claire la concentration des anomalies calorifiques positives de l'ensemble des sources énergétiques produites ou captées par notre planète. À noter qu'une droite au niveau de 42 Centigrade représente approximativement un niveau de confiance de 86% de la situation locale ou régionale.

Veuillez référer à l'histogramme suivant en cliquant sur ce lien hypertexte :



Graphe.

8. Rappel et confirmation des marées calorifiques;

Le Groupe <<Coriolis-Vinci>> rappelle aux lecteurs la définition des différents types de marées calorifiques. Nous vous référons aux croquis que vous trouverez à l'aide du lien hypertexte de la section intitulée : PROJET <<CORIOLIS-VINCI>> du site web <http://rlapierre.qc.ca>.

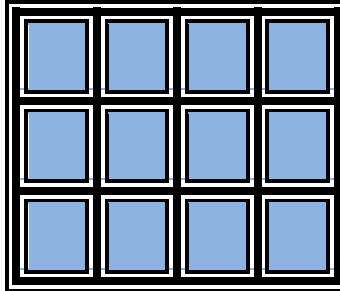


Voir les croquis.

9. Rappel et confirmation de l'indice topographique ré : vol en haute altitude de Montréal à Bruxelles;

Nous vous référons au tableau du lien hypertexte de la section intitulée : PROJET <<CORIOLIS-VINCI>> du site web <http://rlapierre.qc.ca>. À remarquer que les valeurs exprimées en delta calorifique << Centigrade >>

corroborent aux données régionales avec topographie accentuée, zone à topographie plane en milieu océanique et finalement les effets régionaux européens de la Belgique. Données colligées par Régis Lapierre, ing., Sc.M.G.P., M.Sc.A lors d'un voyage de plaisance.



Voir le Tableau suivant.

#### 10. Rappel et confirmation de l'effet <<LUNAR ORBITAL HEART BEAT EFFECT'S:

Lors de la publication des rapports précédents, ce phénomène a été expliqué. Et pour fin de clarification, nous ajoutons la description physique de la dimension (valeur arrondie) des sphères suivantes :

- Planète TERRE : approximativement 13,000 kilomètres;
- Satellite naturel LA LUNE : approximativement 3,000 kilomètres;

Lors de la révolution de notre satellite naturel, les scientifiques ont bien décrit les phénomènes d'ombre et pénombre causés par le passage de la LUNE entre LA TERRE et LE SOLEIL. Ce phénomène modifie la quantité énergétique lumineuse atteignant l'atmosphère. Alors pour une durée approximative de deux jours certains endroits de la planète TERRE sont influencés de façon climatique et/ou météorologique par une réduction soudaine de l'énergie solaire habituelle, causant ainsi certains soubresauts calorifiques. De plus comme expliqué dans les rapports précédents, la forme de la <<CEINTURE DE VAN-ALLEN>> se trouve modifiée de trois façons :

- L'excroissance du tore se formant du côté du soleil agit comme lentille amplificatrice lorsque la lune est décroissante, génère un premier gain calorifique régional important;
- L'excroissance du tore se formant du côté du soleil perd approximativement plus ou moins 33% de l'énergie lumineuse qui atteint les couches de l'atmosphère, générant ainsi un refroidissement régional soudain (Phénomène de l'ombre et pénombre tout en déformant le tore à son maximum dans l'axe soleil/lune/terre);
- L'excroissance du tore se formant du côté du soleil agit comme lentille amplificatrice lorsque la lune est croissante, générant ainsi un second gain calorifique complémentaire;
- L'excroissance du tore disparaît une fois que la LUNE n'exerce plus d'action gravitationnelle, alors le tore reprend sa forme standard ou original jusqu'à ce que la LUNE s'approche suffisamment de l'enveloppe du tore pour générer la déformation de la PLEINE LUNE, soit une réduction de la distance du tore (ORIENTATION SOLEIL/TERRE/LUNE) entre l'enveloppe du tore et la TERRE elle-même. Le diaporama déjà publié peut servir à la compréhension de ce phénomène. Cette action de réduction de distance peut se produire de façon soudaine appelée (FLIP-FLOP d'ENTRÉE) tout comme la sortie de l'attraction appelée (FLIP-FLOP de SORTIE);
- L'excroissance ou distance de l'enveloppe du TORE du côté opposé de la position de la LUNE par rapport à la terre étant à son minimum lors de la période de la PLEINE LUNE;

D'où proviennent une grande partie des marées calorifiques générées par l'orbite de notre satellite naturel <<EFFET DE MARÉES CALORIFIQUES LORSQUE LA LUNE NOIRE OU NOUVELLE LUNE et LA PLEINE LUNE atteint son apogée>>.

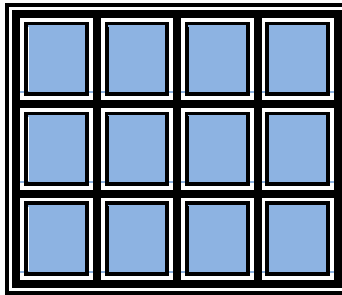


Voir les

croquis.

**11. Rappel de l'effet de l'influence des autres planètes importantes de notre système solaire ou <<VOIE LACTÉE>>;**

Le phénomène expliqué au paragraphe (8) peut également servir d'explication des variations calorifiques et climatologiques à une échelle moins évidente mais tout de même certaine. Ce phénomène à l'échelle de la compréhension temporelle humaine est moins évident, mais demeure fortement logique!



Voir le TABLEAU DES PROBABILITÉS en jeux.

**12. Importance du recyclage (Une solution régionale proposée)**

Veillez visionner le diaporama suivant pour une compréhension d'une industrie intégrée du recyclage.

DIAPORAMA RECYCLAGE



**13. Proposition de réduction énergétique pour le transport du bois destiné à la production des pâtes et papiers**

Veillez visionner le diaporama suivant pour une compréhension d'une méthode de transport économique et écologique et salvatrice pour l'industrie des pâtes et papiers.

**DIAPORAMA PIPELINE POUR : (COPEAUX ET SCIURES)**

**Destinés aux industries forestières de la région TRIFLUVIENNE!**



**14. Les huit années de cumul ou colligée des données météorologiques et climatologiques, une recherche exécutée par un chercheur autonome signataire de ce document a nécessité beaucoup plus que douze milles heures de travail intenses. Cette étude dans sa totalité confirme nos théories de <<EGG'S LUNAR EFFECT>> et du <<HEART BEAT EFFECT>>. Ces deux effets considérés de façon complémentaire aux dix sept items énumérés plus haut, peuvent être partie intégrante d'un modèle climatologique informatisé amélioré intégrant nos concepts. Mais nous maintenons notre position à savoir qu'un simulateur physique pourrait créer un champ de recherche améliorée qui donnerait des résultats prospectifs avantageux et inespérés. Nous considérons qu'un investissement en infrastructure institutionnel de 3,5 milliards de dollars (US\$) serait un avantage pour les chercheurs Québécois, Canadiens et internationaux. Veillez référer au tableau définissant les avantages d'un tel investissement par le biais du lien hypertexte suivant : <<TABLEAU>>. Cet investissement pourrait même être qualifié de nécessaire. Pour les designer(s) en ingénierie, veillez référer à la totalité des documents et des rapports publiés et des présentations <<POWER-POINT>> ou DIAPORAMAS. Une réflexion dit-être engagée à ce sujet!...**

## CONCLUSION

Nous maintenons donc nos recommandations des rapports précédents tout en confirmant que les courbes de tendance des moyennes des deux écarts types consécutifs reflètent encore mieux ou parfaitement les théories avancées par le Groupe <<CORIOLIS-VINCI>> qui deviennent maintenant réalités par des observations et des études de plus de dix ans sur ce sujet fort intéressant, mais également important!....

Les changements climatiques ne sont pas source de crises, **mais bien sources d'une évolution bénéfique** sur tous les aspects qui guident les humains dans leurs démarches par le biais des grandes sciences qu'elles soient économiques, sociologiques, environnementales, écologiques, politiques ou autres!....

Les fléaux réels étant l'indifférence, l'ignorance, l'intolérance, le rejet sous toutes ses formes, l'immobilisme, l'inaction.

L'indifférence et le refus de voir en cette étude, comme étant une découverte importante en l'an 2008, après avoir fait la preuve que le Docteur Van-Allen décédé en 2007 avait réalisé une découverte scientifique fort importante qui porte son nom, soit : <<LA CEINTURE DE VAN-ALLEN>>. Cette étude avait été mise à l'oubliette jusqu'à ce que l'auteur de ce travail perçoive un raffinement et une explication fort logique des effets de cette ceinture sur les variations climatologiques, et ce, avec raison. La continuité de cette recherche par le GROUPE <<CORIOLIS-VINCI>> clarifie le rôle optique réel de cette ceinture et identifie la source et le pourquoi du biorythme et du rôle amplificateur de cette dernière par l'intervention humaine générant une démographie croissante et une société consommatrice qui ne respecte pas de son milieu en général. Nous pouvons dire que l'équilibre commence à être affecté et peut-être débalancé dans un avenir très prochain si nous ne mobilisons pas adéquatement toutes les ressources humaines de bonne volonté pour faire face à un défi que nul humain n'a connu à ce jour!....Nous réitérons que ce travail offre une quasi-certitude de nos avancés ou hypothèses, puisque l'ensemble des données et courbes tracées a un degré de corrélation parfait et les constats sont d'une constance remarquable, et ce, sur une période de huit années d'étude et recherche intenses.